

## ЭМИТТЕРНАЯ СХЕМА КОРРЕКЦИИ В ДВУХКАСКАДНОМ УСИЛИТЕЛЕ НА ПЛОСКОСТНЫХ ТРИОДАХ (ПТ)

Н. Н. ПУСТИНСКИЙ

(Представлено конференцией, посвященной 60-летию Томского политехнического института)

Эквивалентная схема двухкаскадного усилителя с эмиттерной коррекцией высокочастотных искажений приведена на рис. 1. Поскольку вопросы коррекции высокочастотных искажений с помощью  $RC$ -противовеса в цепи эмиттера в усилительном каскаде на ПТ с активным сопротивлением источника сигнала подробно рассмотрены в работе [1], на вопросах коррекции первого каскада при отключенном втором здесь останавливаться не будем.

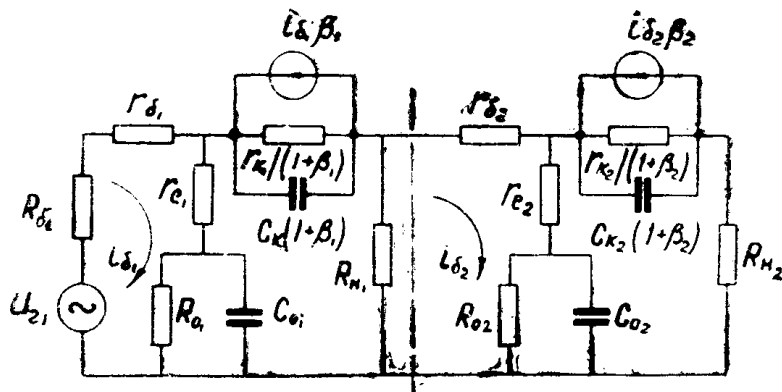


Рис. 1.

Сопротивление источника сигнала для второго каскада отличается от активного. Оно равно выходному сопротивлению первого каскада, т. е.

$$Z_{\delta 2} = \frac{Z_{\text{вых.1}}^{\infty} \cdot Z_{H1}}{Z_{\text{вых.1}}^{\infty} + Z_{H1}}, \quad (1)$$

где  $Z_{\text{вых.1}}^{\infty}$  — выходное сопротивление первого каскада при  $Z_{H1} \rightarrow \infty$ ,  $Z_{H1}$  — сопротивление нагрузки первого каскада при отключенном втором ( $Z_{H1} \cong R_{H1}$ ).

Выходное сопротивление 1-го каскада при отключенной нагрузке, т. е. при  $R_{H1} \rightarrow \infty$ , равно

$$Z_{\text{вых}1}^{\infty} = R_{\text{вых}1}^{\infty} \cdot \frac{1 + j \cdot \frac{1}{a_{oe1}^0} (\tau'_{\beta I} + \tau_{01} a_{el}^0) + (j \omega)^2 \frac{1}{a_{oe1}^0} \tau_{01} \cdot \tau'_{\beta I}}{(1 + j \omega r_{k1} \cdot C_{k1}) \cdot (1 + j \omega \tau_{0c} \frac{a_{el}^0}{a_{oe1}^{\infty}})}, \quad (2)$$

где  $a_{el}^0 \approx 1 + \frac{r_{el}(1 + \beta_{01})}{R_{\beta 1} + r_{\beta 1}}$ ,  $a_{el}^{\infty} = 1 + \frac{r_{el}}{R_{\beta 1} + r_{\beta 1}}$  — коэффициенты внутренней обратной связи (за счет  $r_{el}$ ) первого каскада на средних частотах соответственно при  $R_{H1} = 0$  и  $R_{H1} = \infty$ ;

$$a_{oe1}^0 \approx 1 + \frac{(R_{01} + r_{el}) \cdot (1 + \beta_{01})}{R_{\beta 1} + r_{\beta 1}}, \quad a_{oe1}^{\infty} = 1 + \frac{R_{01} + r_{el}}{R_{\beta 1} + r_{\beta 1}} \text{ — коэффициенты общей (внутренней и внешней) обратной связи первого каскада на средних частотах соответственно при } R_{H1} = 0 \text{ и } R_{H1} = \infty,$$

$R_{\text{вых}1}^{\infty} = \frac{r_{k1}}{1 + \beta_{01}} \cdot \frac{a_{oe1}^0}{a_{oe1}^{\infty}}$  — выходное сопротивление 1-го каскада на средних частотах при  $R_{H1} = \infty$ ;

$\beta_{01}$  — коэффициент передачи тока базы триода в первом каскаде на низкой частоте,

$$\tau_{01} = R_{01} \cdot C_{01}, \quad \tau'_{\beta I} = \tau_{\beta I} + C_{k1} (R_{01} + r_{el}) \cdot (1 + \beta_{01}),$$

$$\tau''_{\beta I} = \tau_{\beta I} + C_{k1} \cdot r_{el} (1 + \beta_{01}),$$

$\tau_{\beta I}$  — постоянная передачи тока базы триода в первом каскаде.

Подставляя значение  $Z_{\text{вых}1}^{\infty}$  из (2) в формулу (1), получим выражение для сопротивления источника сигнала второго каскада.

$$Z_{\beta 2} = R_{\beta 2} \cdot \frac{1 + j \Omega_1 \left( \frac{q_1}{1 + q_1} + m_1 \cdot \frac{a_{el}^0}{a_{oe1}^0} \right) + (j \Omega_1)^2 \cdot m_1 \frac{q_1}{1 + q_1}}{1 + j \Omega_1 \left( 1 + m_1 \frac{a_{el}^0}{a_{oe1}^0} \right) + (j \Omega_1)^2 \cdot m_1}, \quad (3)$$

где  $\Omega_1 = \frac{\tau_{k\beta I}}{a_{oe1}^0}$  — нормированная угловая частота;

$\tau_{k\beta I} = \tau_{\beta I} + C_{k1} R_{H1} (1 + \beta_{01})$  — эквивалентная постоянная передачи тока базы в 1-м усилительном каскаде;

$m_1 = \frac{\tau_{01}}{\tau_{k\beta I}} \cdot a_{oe1}^0$  — параметр коррекции 1-го каскада,  $R_{\beta 2} \approx R_{H1}$ ;

$q_1 = \frac{\tau_{\beta I}}{C_{k1} R_{H1} (1 + \beta_{01})}$  — коэффициент относительной инерционности триода в 1-м усилительном каскаде.

Выражение (3) получено в предположении, что

$$C_{k1} (R_{01} + r_{el}) \cdot (1 + \beta_{01}) \ll \tau_{\beta I}, \quad \text{т. е. } \tau''_{\beta I} \approx \tau'_{\beta I} \approx \tau_{\beta I},$$

$$R_{H1} \gg R_{\text{вых}1}, \quad a_{oe1}^{\infty} \approx 1 \text{ и } a_{el}^{\infty} \approx 1,$$

поскольку такие соотношения часто имеют место.

Из (3) видно, что при  $q_1 \gg 1$ , т. е. когда искажения обусловлены в основном инерционностью триода (процессами, происходящими в области базы), имеем  $Z_{\beta 2} \approx R_{\beta 2}$ .

Полагая для простоты, что параметры обоих каскадов одинаковы, кроме корректирующих ёмкостей  $C_{01}$  и  $C_{02}$  (т. е. параметров  $m_1$  и  $m_2$ ), запишем коэффициент частотных искажений для второго каскада в виде<sup>1)</sup>

$$\frac{K_{u2}}{K_{u02}} \approx \frac{1 + j\Omega(1 + m_2) + (j\Omega)^2(m_1 + m_2) + (j\Omega)^3 \cdot m_1 \cdot m_2}{1 + j\Omega 2 + (j\Omega)^2 \cdot (m_1 + m_2 + d) + (j\Omega)^3 d(m_1 + m_2) + (j\Omega)^4 d m_1 \cdot m_2},$$

где  $m_2 = \frac{C_{02} \cdot R_o}{\tau_{K2}}$ ,  $a_{oe}$  — параметр коррекции 2-го каскада,

$$d = \frac{z + q}{1 + q}, \quad z = \frac{r_\delta}{R_\delta + r_\delta}.$$

Приравнивая в  $\left| \frac{K_{u2}}{K_{u02}} \right|$  коэффициенты при  $\Omega^2$ , найдем параметр коррекции второго каскада, при котором его частотная характеристика близка к оптимальной

$$m_{2u} = -1 + \sqrt{4 - 2d}.$$

При тех же приближениях для каскада с активным сопротивлением источника сигнала параметр коррекции равен

$$m_{uR} \approx 0,414.$$

Так как  $0 < d < 1$ , то имеем  $1 > m_{2u} > 0,414$ . Поскольку в реальных схемах обычно  $d \approx 0,3 \dots 0,85$ , то получаем

$$m_{2u} \approx (1,2 \dots 2,0) \cdot m_{uR}.$$

Для всего усилителя рис. 1 коэффициент частотных искажений равен

$$\frac{K_u}{K_{u0}} = \frac{1 + j\Omega(m_1 + m_2) + (j\Omega)^2 \cdot m_1 \cdot m_2}{1 + j\Omega 2 + (j\Omega)^2(m_1 + m_2 + d) + (j\Omega)^3 d(m_1 + m_2) + (j\Omega)^4 d m_1 \cdot m_2}.$$

Приравнивая в  $\left| \frac{K_u}{K_{u0}} \right|$  коэффициенты при  $\Omega^2$ , получим связь между параметрами коррекции  $m_1$  и  $m_2$ , при которой частотная характеристика всего усилителя близка к оптимальной. Указанная связь определяется выражением

$$m_2 = -1 + \sqrt{5 - 2d} - m_1(m_1 + 2).$$

В случае  $m_1 = m_{1u} = 0,414$  получим  $m_2 = m_{2u} = -1 + \sqrt{4 - 2d}$ .

Представляет интерес выяснить, при каких соотношениях параметров коррекции  $m_1$  и  $m_2$  обеспечивается большая полоса пропускания усилителя при „плоской“ частотной характеристике.

1) Имеется в виду, что  $\frac{Z_\delta + r_\delta + R_H}{z_K} \ll 1$ ,  $a_{oe} \approx a_e$  и  $\frac{R_H}{r_K}(1 + \beta_0) \ll 1$ , т. е.  
 $a_{oe}^u \approx a_{oe}$  и  $a_e^u \approx a_e$ .

На рис. 2 приведены расчетные зависимости модуля  $\left| \frac{K_u}{K_{u0}} \right|$  в  $f(\Omega)$ .

Номера линий соответствуют случаям:

1)  $m_1 = 0, m_2 = d = 0,828$  и  $m_2 = 0, m_1 = d = 0,828$  — когда в  $\left| \frac{K_u}{K_{u0}} \right|$  обеспечивается равенство коэффициентов как при  $\Omega^2$ , так и при  $\Omega^4$ .  
2)  $m_1 = m_{1u} = 0,414, m_2 = m_{2u} = 0,531$  — когда как в 1-м, так и во 2-м каскадах обеспечиваются оптимальные частотные характеристики. Здесь, как и в случаях „3“, „4“ и „5“, с целью сравнения берем также  $d = 0,828$ .

3)  $m_1 = m_2 = -1 + \sqrt{3-d} = 0,474$  — когда 1-й каскад перекорректирован, а 2-й — недокорректирован. Хотя линии „2“ и „3“ практически сливаются, в этом случае граничная частота получается все же несколько большей.

4)  $m_1 = 0,3, m_2 = 0,629$  — когда недокорректирован 1-й каскад, а перекорректирован второй.

5)  $m_1 = 0, m_2 = 0$  — когда отсутствуют корректирующие емкости в обоих каскадах.

Таким образом, наибольшая полоса пропускания при „плоской“ частотной характеристике в двухкаскадном усилителе с эмиттерной коррекцией получается при  $m_1 = m_2 = -1 + \sqrt{3-d}$ , т. е. когда первый каскад перекорректирован, а второй недокорректирован. Эксперимент подтверждает это.

#### ЛИТЕРАТУРА

1. Пустынский И. Н. Высокочастотная коррекция в транзисторных видеоусилителях с помощью  $RC$ -противоcвязи в цепи эмиттера. „Известия вузов СССР“, „Радиотехника“, № 5, 1960.